

DAFTAR PUSTAKA

- Aristi, M. V. (2021). Estimasi Stok Karbon Lamun di Pantai Panrangluhu, Desa Bira, Kecamatan Bontobahari, Kabupaten Bulukumba. In *Thesis*. Universitas Hasanuddin.
- Asriyana, & Yuliana. (2019). *Produktivitas Perairan* (S. B. Hastuti (ed.); Revisi). PT. Bumi Aksara.
- Azkab, M. H. (2000). Struktur dan Fungsi pada Komunitas Lamun. *Jurnal Oseana*, 25(3), 9–17.
- Baeti, T. N., Hartati, R., & Rianiatsih, I. (2019). Potensi Simpanan Karbon Pada Lamun *Cymodocea serrulata*. *Journal of Marine Research*, 8(1), 19–26.
- Bagu, I. A., Hamidun, M. S., & Baderan, D. W. K. (2020). Estimasi Simpanan Karbon Lamun *Enhalus acoroides* di Kawasan Pantai Langala Dulupi Kabupaten Boalemo. *Jambura Edu Biosfer Journal*, 2(1), 13–21.
- Bahar, A. (2015). *Pedoman Survei Laut*. Masagena Press.
- Christon, Djunaedi, O. S., & Purba, N. P. (2012). Pengaruh Tinggi Pasang Surut Terhadap Pertumbuhan dan Biomassa Daun Lamun *Enhalus acoroides* di Pulau Pari Kepulauan Seribu Jakarta. *Jurnal Perikanan Dan Kelautan*, 3(3), 287–294.
- Dewi, I. G. A. S., Syukur, A., & Mertha, I. G. (2021). *Potensi Kandungan Karbon Keragaman Spesies Lamun di Perairan Pesisir Selatan Lombok Timur Potential Carbon Content of Seagrass Species Diversity in South Coastal Waters of East Lombok*. 196–213.
- Duarte, C. M. (1990). Seagrass Nutrient Content. *Marine Ecology Progress Series*. Oldendorf, 6(2), 201-207
- Ganefiani, A., Suryanti, S., & Latifah, N. (2019). Potensi Padang Lamun Sebagai Penyerap Karbon Di Perairan Pulau Karimunjawa, Taman Nasional Karimunjawa. *Saintek Perikanan*, 14(2), 115–122.
- Gunawan, J. V., Parengkuan, M., Wahyudi, A. J., & Zulpikar, F. (2019). Estimasi Stok

- Karbon pada Biomassa Lamun di Pulau Semak Daun, Kepulauan Seribu. *Oceanologi Dan Limnologi Di Indonesia*, 4(2), 89. <https://doi.org/10.14203/oldi.2019.v4i2.229>
- Hasanuddin, R. (2013). *Hubungan Antara Kerapatan dan Morfometrik Lamun Enhalus acoroides dengan Substrat dan Nutrien di Pulau Sarappo Lompo Kab. Pangkep*. Hasanuddin.
- Hutabarat, & Evans. (2000a). *Pengantar Oseanografi*. Universitas Indonesia Press.
- Hutabarat, S., & Evans, S. M. (2000b). *Pengantar Oseanografi*. Universitas Indonesia Press.
- Ira. (2011). Keterkaitan Padang Lamun Sebagai Pemerangkap dan Penghasil Bahan Organik Dengan Struktur Komunitas Makrozoobentos di Perairan pulau Barrang Lompo. In *Thesis*. Institut Pertanian Bogor.
- Irawan, A. (2017). Potensi Cadangan dan Serapan Karbon oleh Padang Lamun di bagian Utara dan Timur Pulau Bintan. *Oceanologi Dan Limnologi Di Indonesia*, 2(3), 35. <https://doi.org/10.14203/oldi.2017.v2i3.158>
- Kaswadji, R. F., Bengen, D. G., & Hutomo, M. (2018). *Carbon Stock of Seagrass Community in Barranglompo Island , Makassar Carbon Stock of Seagrass Community in Barranglompo Island , Makassar. March 2014*.
- Kawaroe, M., Nugraha, A. H., & Juraij. (2019). *Ekosistem Padang Lamun* (A. M. Sari & B. Nugraha (eds.)). IPB Press.
- Kepmen LH No. 200 Tahun 2004. (2004). Kriteria Baku dan Pedoman Penentuan Status Padang Lamun. *Menteri Negara Lingkungan Hidup Republik Indonesia*, 16.
- Mardiansyah Assuyuti, Y., Farhan Rijaluddin, A., Ramadhan, F., & Bayu Zikrillah, R. (2016). Estimasi jumlah biomassa lamun di Pulau Pramuka, Karya dan Kotok Besar, Kepulauan Seribu, Jakarta. *Jurnal Depik*, 5(2), 85–93. <https://doi.org/10.13170/depik.5.2.4914>
- Muhammad, S. H., Alwi, D., & Fang, M. (2021). Komposisi Dan Keanekaragaman Jenis Lamun Di Perairan Desa Mandiri Kabupaten Pulau Morotai. *Aurelia Journal*,

3(1), 73. <https://doi.org/10.15578/aj.v3i1.10513>

- Nugraha, A. H., Tasabaramo, I. A., Hernawan, U. E., Rahmawati, S., Putra, R. D., & Idris, F. (2020). Estimasi Stok Karbon Pada ekosistem Lamun Di Perairan Utara Papua (Studi Kasus : Pulau Liki, Pulau Befondi Dan Pulau Meossu). *Jurnal Kelautan Tropis*, 23(3), 291–298. <https://doi.org/10.14710/jkt.v23i3.7939>
- Rahmawati, S., Irawan, A., Supriyadi, I. H., & Azkab, M. H. (2014). *Panduan Monitoring Padang Lamun*. Sarana Komunikasi Utama.
- Rustam, A., Adi, N. S., Daulat, A., Kiswara, W., Yusup, D. S., & Rappe, R. A. (2019). *Pedoman Pengukuran Karbon di Ekosistem Padang Lamun*. ITB Press.
- Sellang, H. (2020). *Biologi Perairan*. Penerbit Lakeisha.
- Supriadi, Richardus F. Kaswadji, Dietrich G. Bengen, M. H. (2012). Produktivitas Komunitas Lamun di Pulau Barranglompo Makassar. *Jurnal Akuatika*, III(2), 159–168.
- Tangke, U. (2010). Ekosistem padang lamun (Manfaat, Fungsi dan Rehabilitasi). *Agrikan: Jurnal Agribisnis Perikanan*, 3(1), 9–29. <https://doi.org/10.29239/j.agrikan.3.1.9-29>

LAMPIRAN

Lampiran 1. Hasil pengolahan data lamun

A. Kerapatan lamun

1. Kerapatan total

NILAI KERAPATAN TOTAL LAMUN (ind/m ²)				
Ulangan	Stasiun I	Stasiun II	Stasiun III	Stasiun IV
1	305,090	624,000	374,400	460,000
2	206,000	485,000	635,000	365,000
3	173,000	1259,000	973,000	221,000
Rata-rata	228,030	789,333	660,800	348,667

2. Kerapatan jenis

a. *Enhalus acoroides*

KERAPATAN ENHALUS ACOROIDES (ind/m ²)				
Ulangan	Stasiun I	Stasiun II	Stasiun III	Stasiun IV
1	27,640	0,000	4,000	0,000
2	34,545	0,000	16,800	0,000
3	48,727	0,000	11,200	0,000
Rata-rata	36,971	0,000	10,667	0,000

b. *Cymodocea rotundata*

KERAPATAN CYMODOCEA ROTUNDATA (ind/m ²)				
Ulangan	Stasiun I	Stasiun II	Stasiun III	Stasiun IV
1	145,090	388,000	111,200	266,222
2	119,270	244,000	360,000	216,360
3	47,636	517,000	137,800	177,710
Rata-rata	103,999	383,000	203,000	220,097

c. *Thalassia hemprichii*

KERAPATAN THALASSIA HEMPRICHI (ind/m ²)				
Ulangan	Stasiun I	Stasiun II	Stasiun III	Stasiun IV
1	66,910	56,000	68,000	48,000
2	43,273	62,667	48,800	34,909
3	47,636	38,000	88,000	43,429
Rata-rata	52,606	52,222	68,267	42,113

d. *Halophila ovalis*

KERAPATAN HALOPHILA OVALIS (ind/m ²)				
Ulangan	Stasiun I	Stasiun II	Stasiun III	Stasiun IV
1	65,450	0,000	191,200	9,333
2	3,640	0,000	209,600	49,450
3	1,820	477,000	322,400	0,000
Rata-rata	23,637	159,000	241,067	19,594

e. *Syringodium isoetifolium*

KERAPATAN SYRINGODIUM ISOETIFOLIUM (ind/m ²)				
Ulangan	Stasiun I	Stasiun II	Stasiun III	Stasiun IV
1	0,000	180,000	0,000	136,444
2	5,450	178,670	0,000	64,000
3	0,000	227,000	0,000	0,000
Rata-rata	1,817	195,223	0,000	66,815

B. Persentase Tutupan Total

NILAI TUTUPAN LAMUN(%)				
Ulangan	Stasiun 1	Stasiun 2	Stasiun 3	Stasiun 4
1	29,273	64,000	41,400	48,556
2	38,545	40,667	36,600	30,545
3	33,091	56,250	53,400	40,571
Rata-Rata	33,636	53,639	43,800	39,891

Lampiran 2. Hasil Uji One Way Anova Data Lamun

A. Kerapatan total lamun

ANOVA					
Kerapatan	Sum of Squares	df	Mean Square	F	Sig.
Between Groups	618779.743	3	206259.914	2.951	.098
Within Groups	559112.639	8	69889.080		
Total	1177892.381	11			

B. Tutupan total lamun

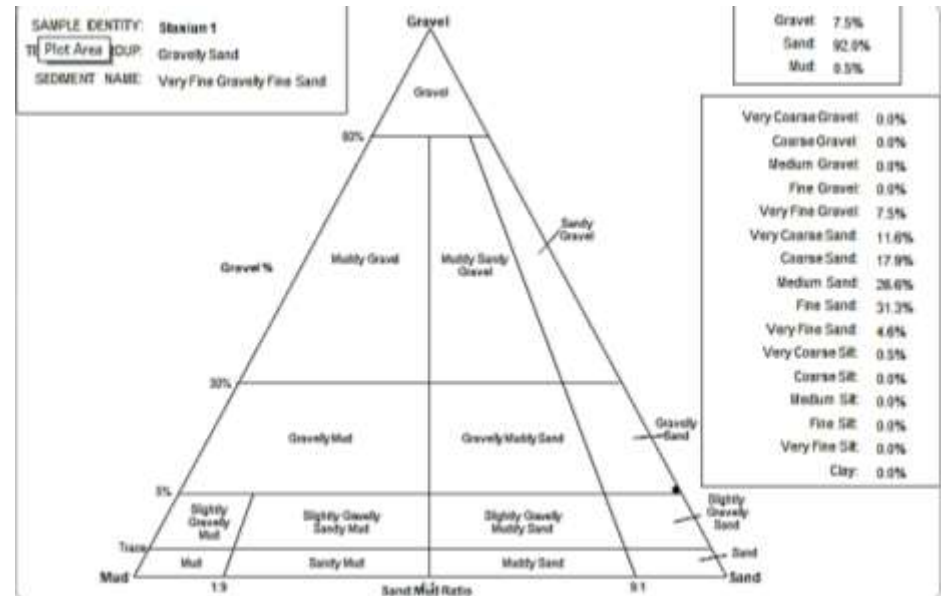
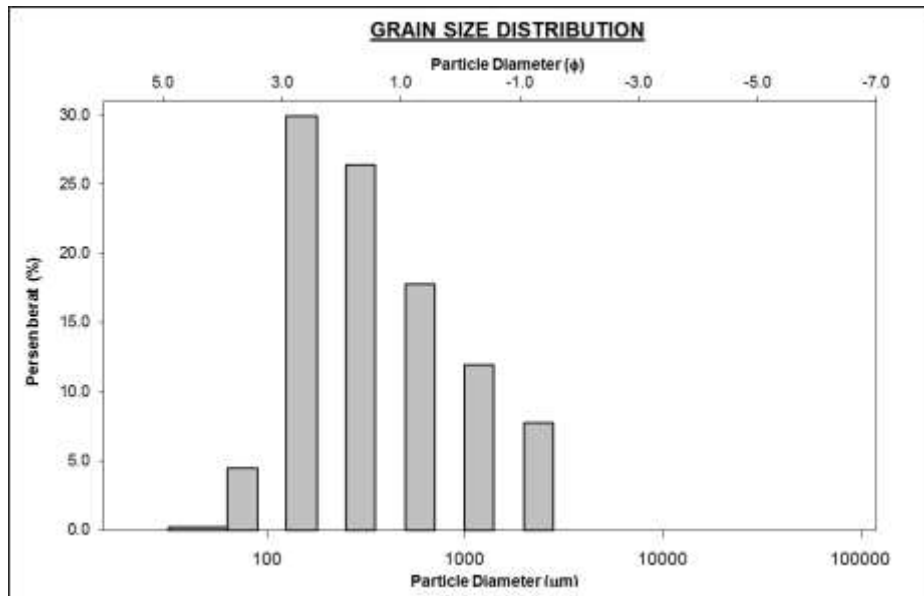
ANOVA					
Tutupan	Sum of Squares	df	Mean Square	F	Sig.
Between Groups	632.722	3	210.907	2.642	.121
Within Groups	638.524	8	79.815		
Total	1271.246	11			

Lampiran 3. Hasil pengukuran parameter oseanografi

Stasiun	Ulangan	Suhu	Salinitas	Kecepatan arus	Kekeruhan	Nitrat air	Fosfat air
I	1	30	35	0,86	1,18	0,026	0,017
	2	33	35	0,94	1,03	0,012	0,016
	3	29	36	0,81	1,81	0,011	0,022
	Rata-rata	29-33	35,33	0,87	1,34	0,016	0,018
II	1	31	35	0,89	2,04	0,009	0,010
	2	33	35	0,94	1,45	0,006	0,021
	3	28	33	0,85	0,78	0,016	0,037
	Rata-rata	28-33	34,33	0,89	1,42	0,010	0,023
III	1	31	35	0,89	1,01	0,007	0,020
	2	35	35	1,00	1,25	0,009	0,016
	3	29	35	0,83	1,26	0,005	0,022
	Rata-rata	29-35	35	0,90	1,17	0,007	0,019
IV	1	32	35	0,91	1,05	0,012	0,013
	2	35	34	1,03	1,09	0,014	0,017
	3	28	35	0,80	0,91	0,004	0,031
	Rata-rata	28-35	34,67	0,91	1,02	0,010	0,020

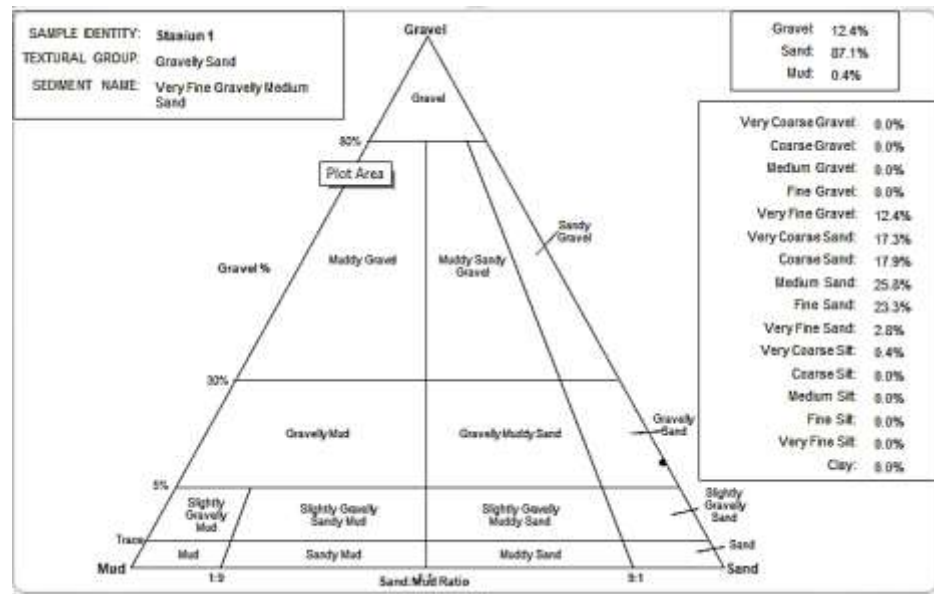
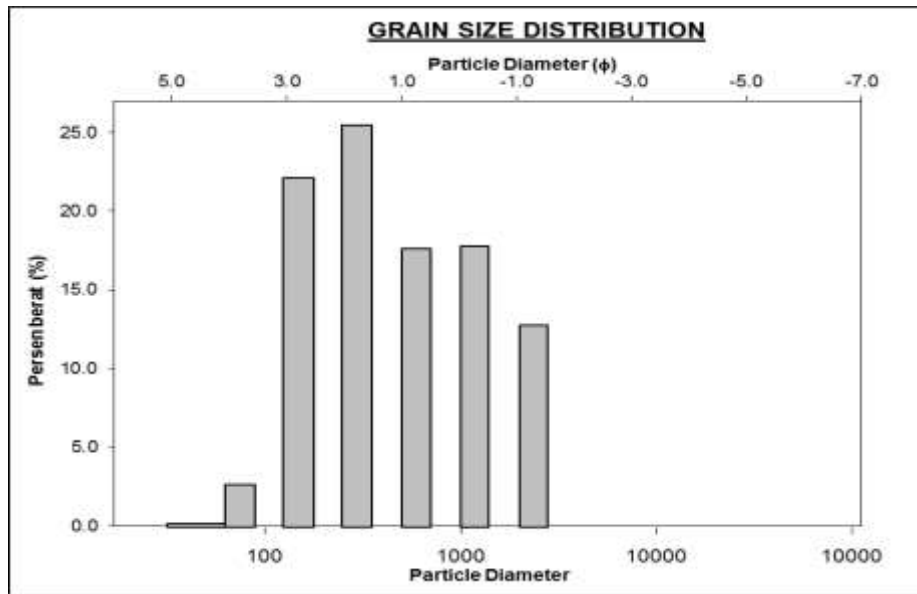
Lampiran 4. Hasil Uji Gradistat (Tabel Jenis Substrat, Grafik Distribusi Partikel Butir, dan Segitiga Tekstur Sedimen)

Stasiun 1 ulangan 1						
	METHOD OF MOMENTS			FOLK & WARD METHOD		
	Arithmetic	Geometric	Logarithmic	Geometric	Logarithmic	Description
	μm	μm	ϕ	μm	ϕ	
MEAN (\bar{x}) :	558.8	346.3	1.530	359.2	1.477	Medium Sand
SORTING (σ):	619.0	2.526	1.337	2.715	1.441	Poorly Sorted
SKEWNESS (Sk):	1.967	0.481	-0.481	0.259	-0.259	Coarse Skewed
KURTOSIS (K):	6.081	2.434	2.434	0.951	0.951	Mesokurtic



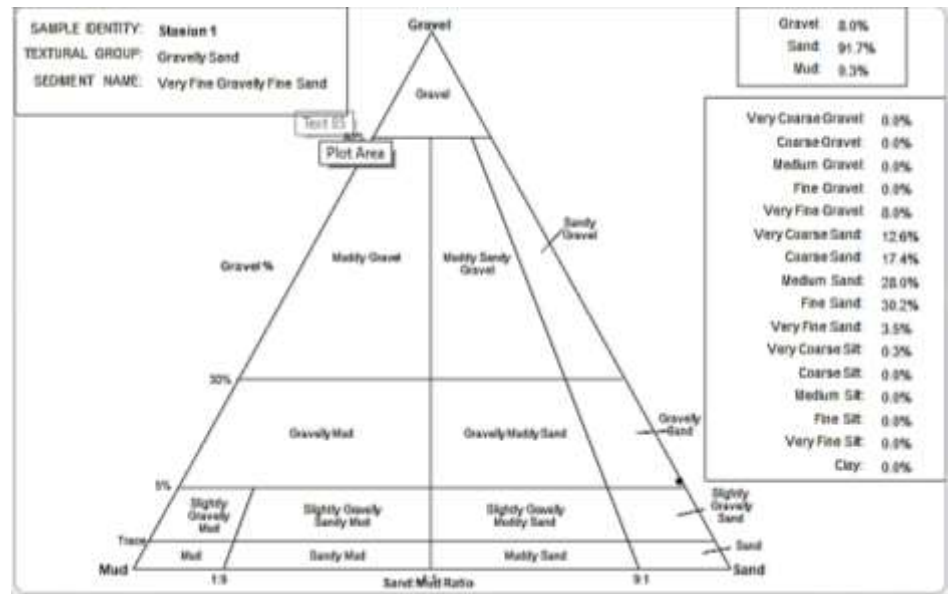
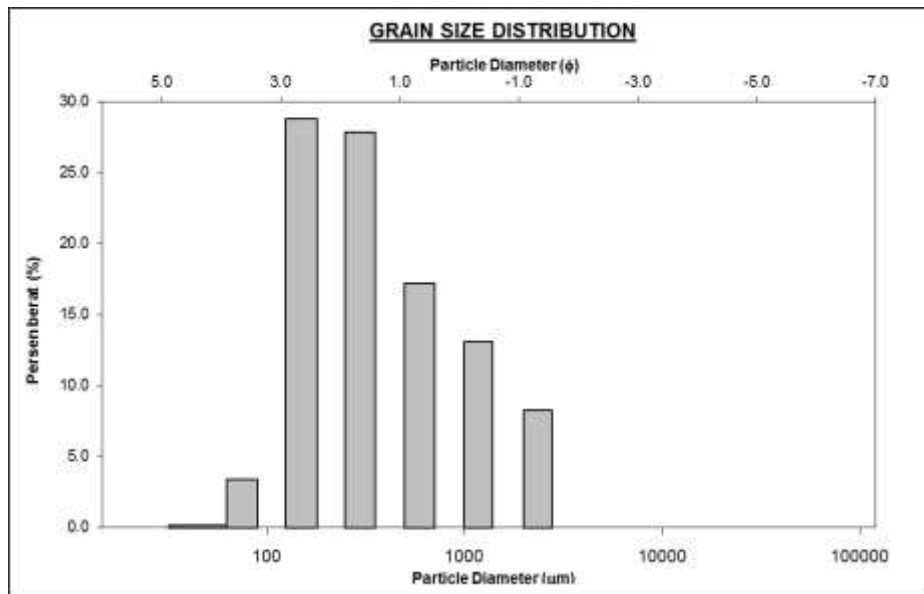
Ulangan 2

	METHOD OF MOMENTS			FOLK & WARD METHOD			Description
	Arithmetic	Geometric	Logarithmic	Geometric	Logarithmic		
	μm	μm	ϕ	μm	ϕ		
MEAN (\bar{x}):	730.3	450.6	1.150	409.2	1.289	Medium Sand	
SORTING (σ):	725.5	2.659	1.411	2.673	1.418	Poorly Sorted	
SKEWNESS (Sk):	1.365	0.196	-0.196	0.288	-0.288	Coarse Skewed	
KURTOSIS (K):	3.661	2.025	2.025	0.659	0.659	Very Platykurtic	



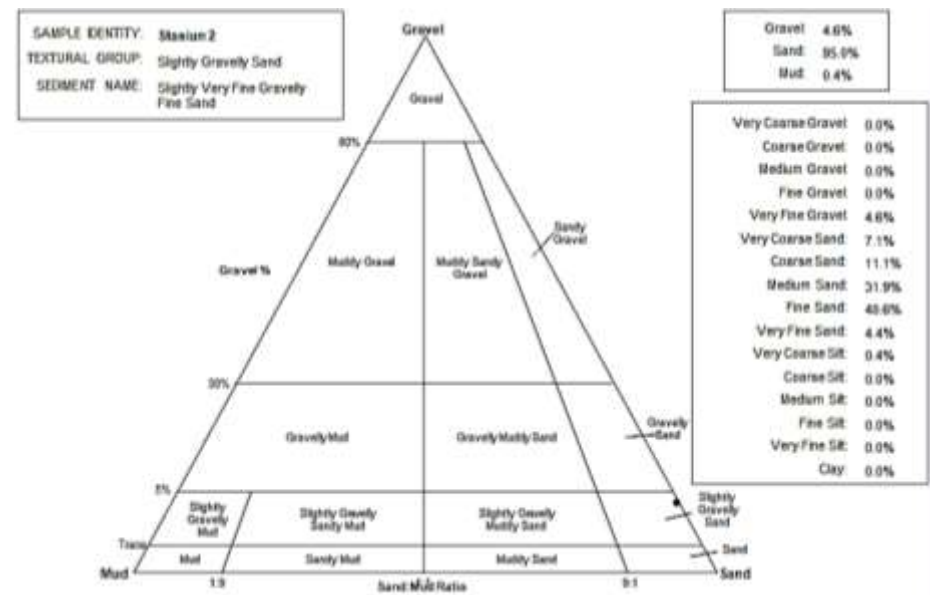
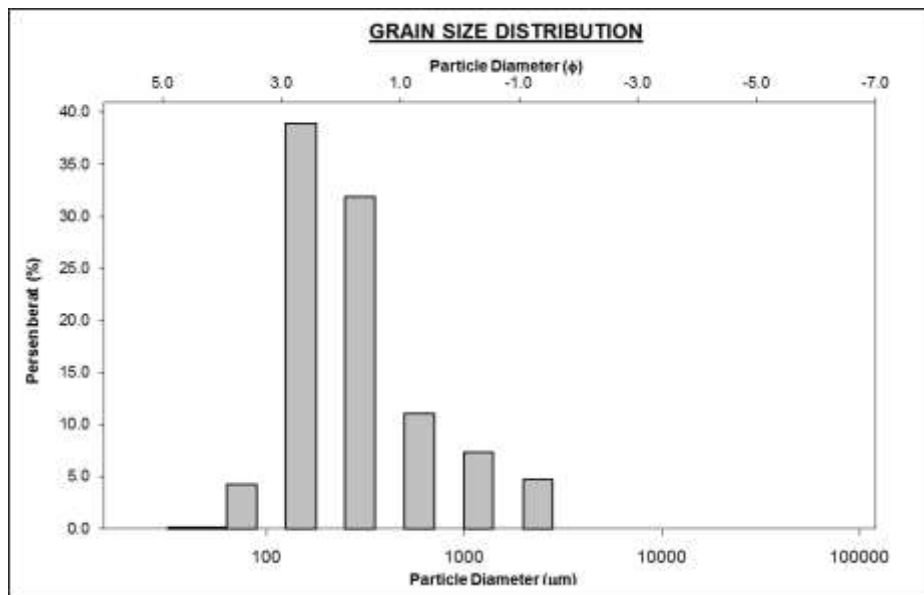
Ulangan 3

	METHOD OF MOMENTS			FOLK & WARD METHOD		
	Arithmetic	Geometric	Logarithmic	Geometric	Logarithmic	Description
	μm	μm	ϕ	μm	ϕ	
MEAN (\bar{x}) :	582.0	363.6	1.459	368.5	1.440	Medium Sand
SORTING (σ):	632.1	2.508	1.327	2.587	1.371	Poorly Sorted
SKEWNESS (Sk):	1.879	0.485	-0.485	0.332	-0.332	Very Coarse Skewed
KURTOSIS (K):	5.669	2.370	2.370	0.849	0.849	Platykurtic



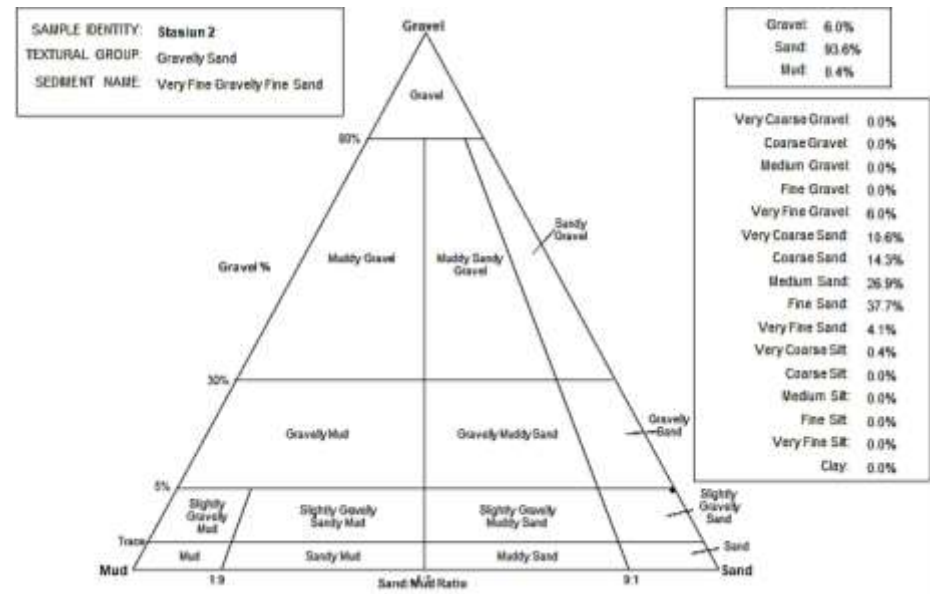
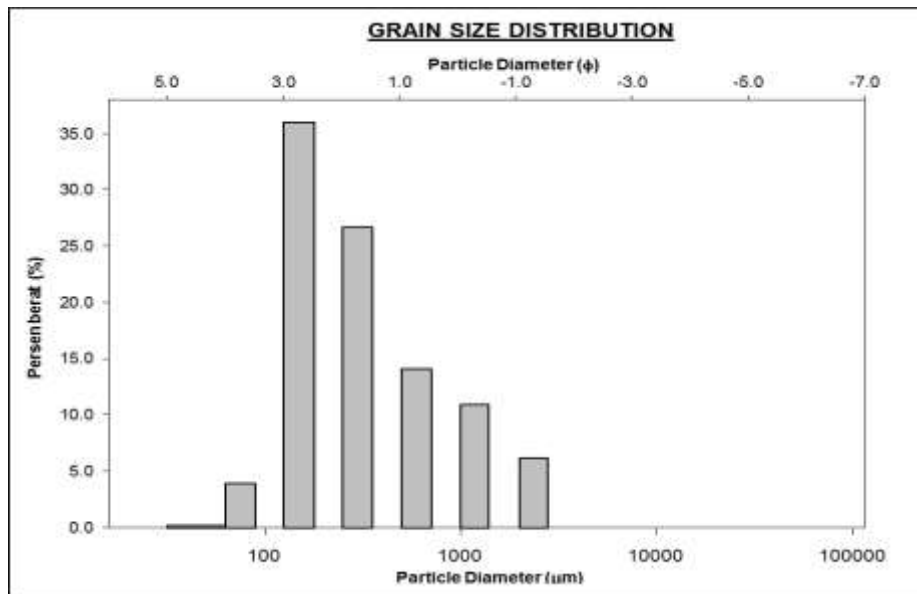
Stasiun 2 Ulangan 1

	METHOD OF MOMENTS			FOLK & WARD METHOD		
	Arithmetic	Geometric	Logarithmic	Geometric	Logarithmic	Description
	μm	μm	ϕ	μm	ϕ	
MEAN (\bar{x}) :	424.7	276.5	1.855	282.7	1.823	Medium Sand
SORTING (σ):	516.1	2.262	1.178	2.091	1.064	Poorly Sorted
SKEWNESS (Sk):	2.745	0.946	-0.946	0.261	-0.261	Coarse Skewed
KURTOSIS (K):	10.27	3.497	3.497	1.172	1.172	Leptokurtic



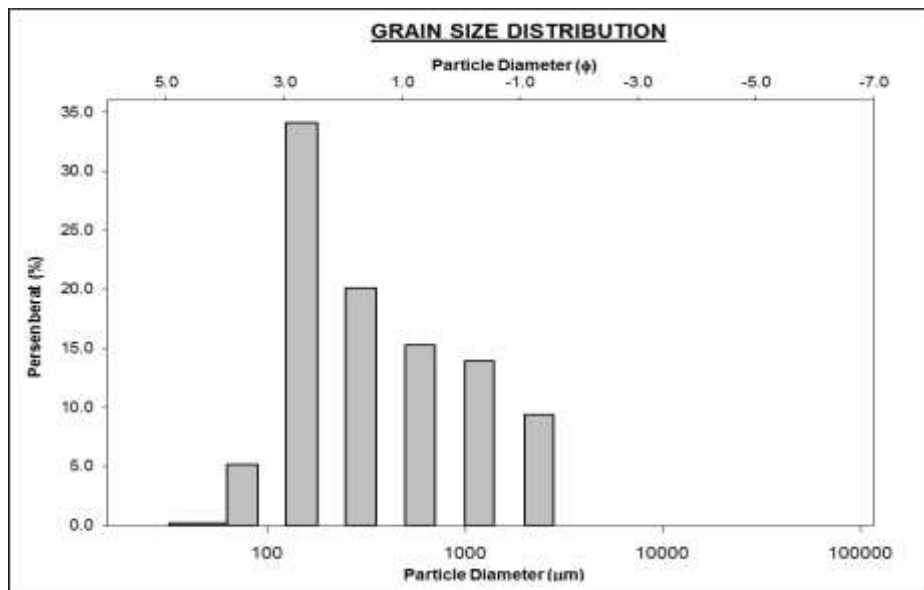
Stasiun 2 Ulangan 2

	METHOD OF MOMENTS			FOLK & WARD METHOD		
	Arithmetic	Geometric	Logarithmic	Geometric	Logarithmic	Description
	μm	μm	ϕ	μm	ϕ	
MEAN (\bar{x}) :	500.5	312.4	1.678	340.4	1.555	Medium Sand
SORTING (σ):	579.2	2.441	1.287	2.522	1.335	Poorly Sorted
SKEWNESS (Sk):	2.205	0.695	-0.695	0.377	-0.377	Very Coarse Skewed
KURTOSIS (K):	7.270	2.691	2.691	0.869	0.869	Platykurtic



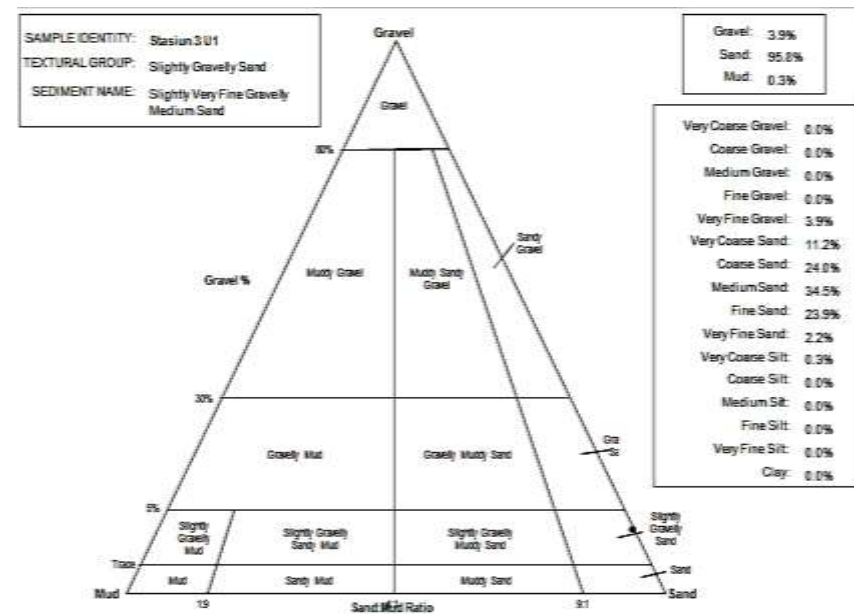
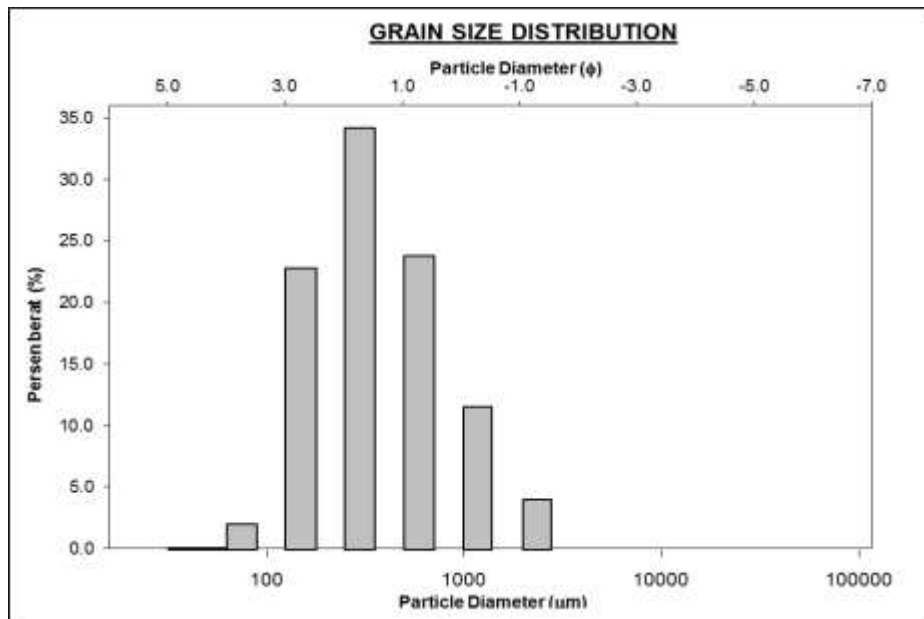
Stasiun 2 Ulangan 3

	METHOD OF MOMENTS			FOLK & WARD METHOD		
	Arithmetic	Geometric	Logarithmic	Geometric	Logarithmic	Description
	μm	μm	ϕ	μm	ϕ	
MEAN (\bar{x}) :	595.3	348.3	1.522	361.8	1.467	Medium Sand
SORTING (σ):	670.7	2.696	1.431	2.816	1.494	Poorly Sorted
SKEWNESS (Sk):	1.729	0.484	-0.484	0.289	-0.289	Coarse Skewed
KURTOSIS (K):	4.967	2.164	2.164	0.910	0.910	Mesokurtic



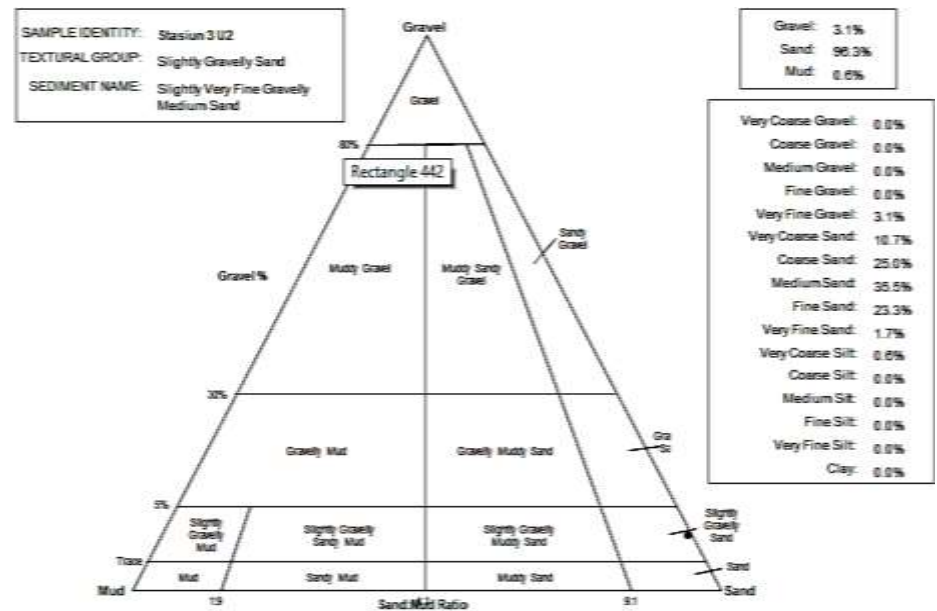
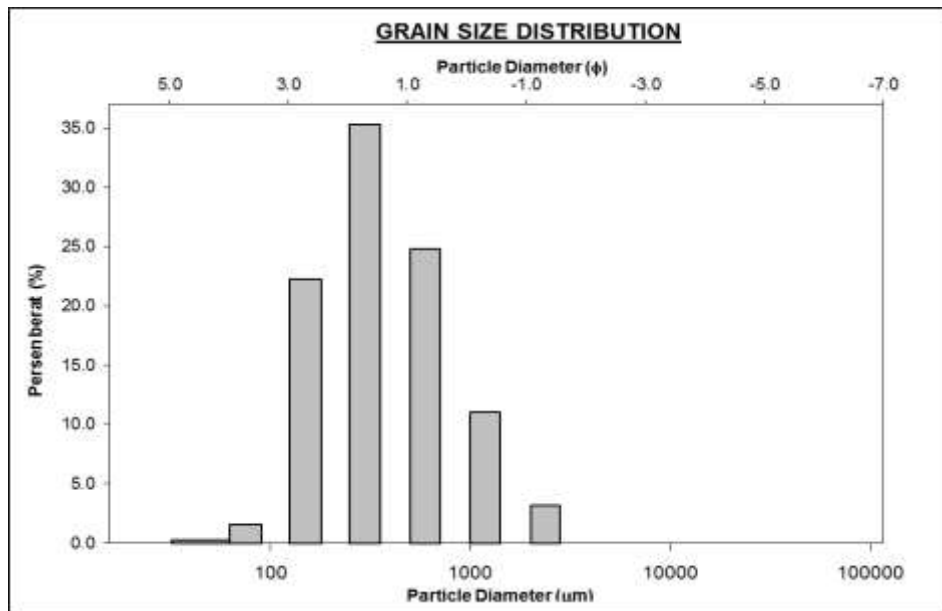
Stasiun 3 Ulangan 1

	METHOD OF MOMENTS			FOLK & WARD METHOD		
	Arithmetic	Geometric	Logarithmic	Geometric	Logarithmic	Description
	μm	μm	ϕ	μm	ϕ	
MEAN (\bar{x}) :	516.4	365.2	1.453	324.8	1.622	Medium Sand
SORTING (σ):	495.2	2.195	1.134	2.084	1.059	Poorly Sorted
SKEWNESS (Sk):	2.308	0.382	-0.382	0.139	-0.139	Coarse Skewed
KURTOSIS (K):	8.691	2.722	2.722	0.769	0.769	Platykurtic



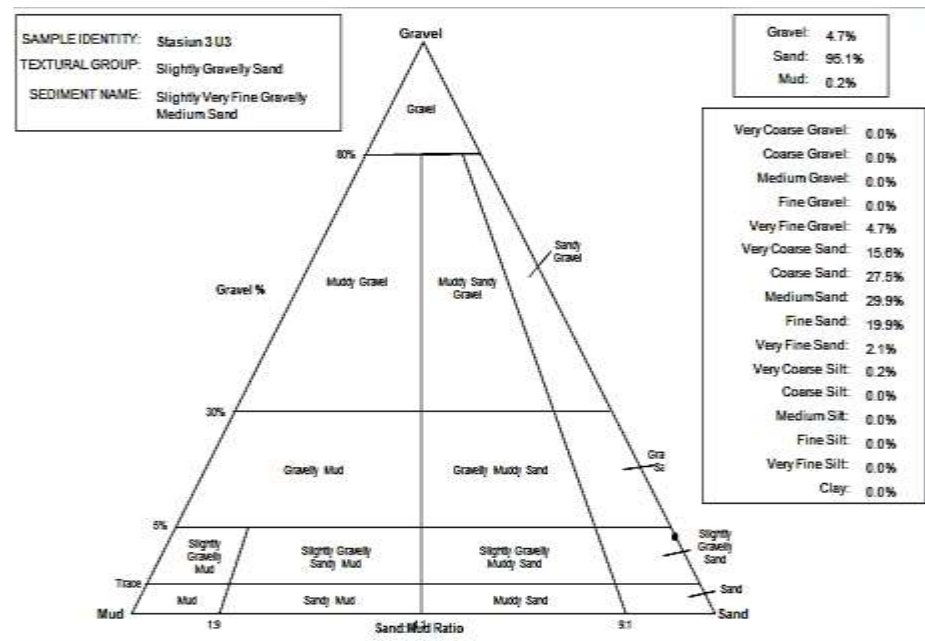
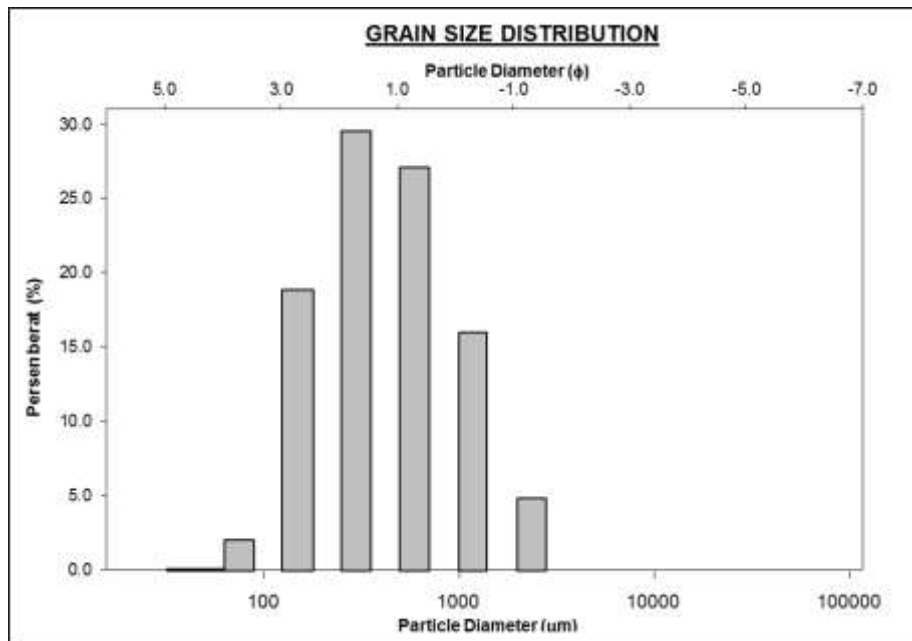
Stasiun 3 Ulangan 2

	METHOD OF MOMENTS			FOLK & WARD METHOD		
	Arithmetic	Geometric	Logarithmic	Geometric	Logarithmic	Description
	μm	μm	ϕ	μm	ϕ	
MEAN (\bar{x}) :	500.0	361.1	1.469	323.9	1.627	Medium Sand
SORTING (σ):	463.6	2.147	1.102	2.062	1.044	Poorly Sorted
SKEWNESS (Sk):	2.390	0.321	-0.321	0.133	-0.133	Coarse Skewed
KURTOSIS (K):	9.522	2.840	2.840	0.774	0.774	Platykurtic



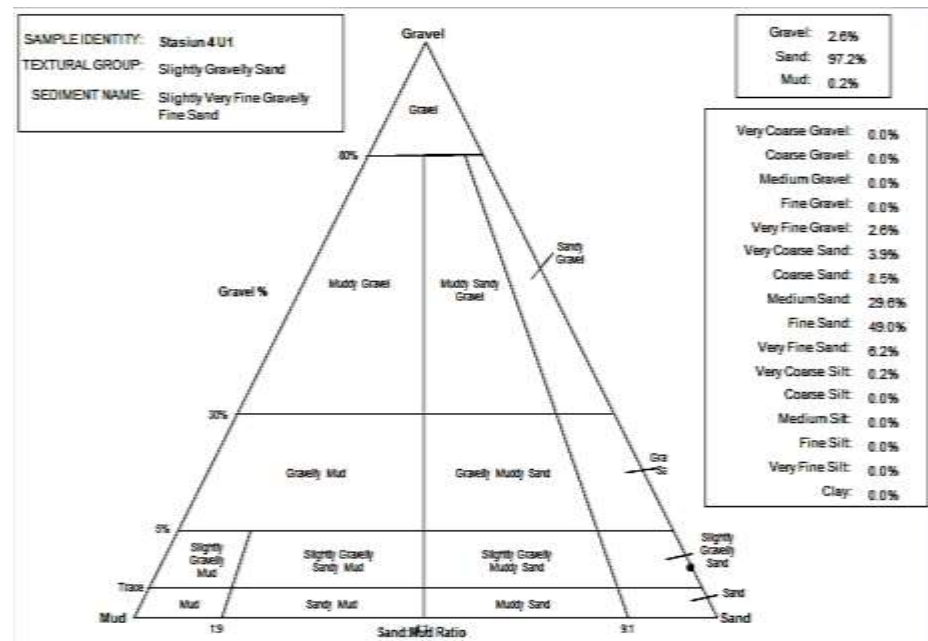
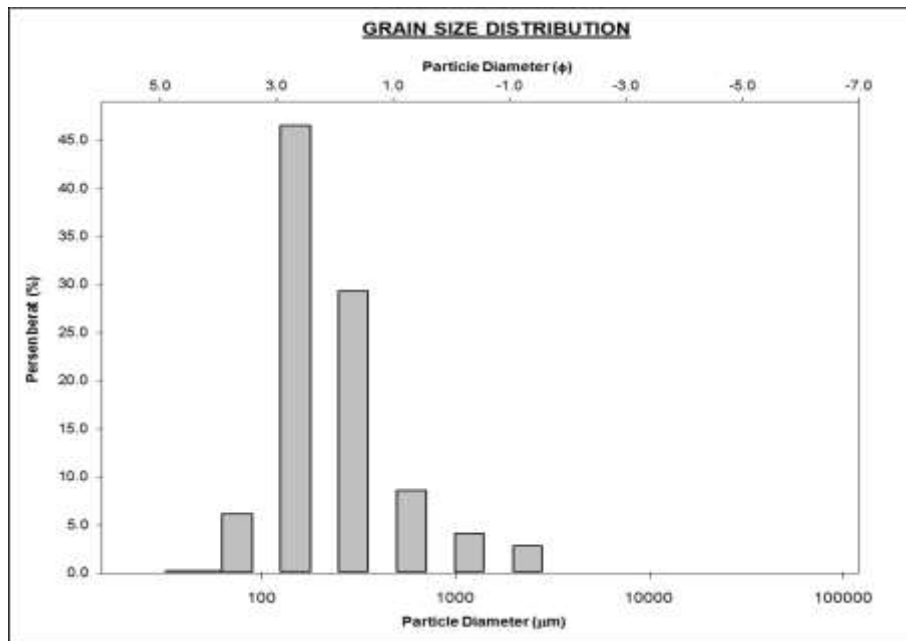
Stasiun 3 Ulangan 3

	METHOD OF MOMENTS			FOLK & WARD METHOD		
	Arithmetic	Geometric	Logarithmic	Geometric	Logarithmic	Description
	μm	μm	ϕ	μm	ϕ	
MEAN (\bar{x}) :	590.0	416.1	1.265	393.7	1.345	Medium Sand
SORTING (σ):	531.8	2.256	1.174	2.313	1.210	Poorly Sorted
SKEWNESS (Sk):	1.929	0.166	-0.166	0.190	-0.190	Coarse Skewed
KURTOSIS (K):	6.781	2.448	2.448	1.016	1.016	Mesokurtic



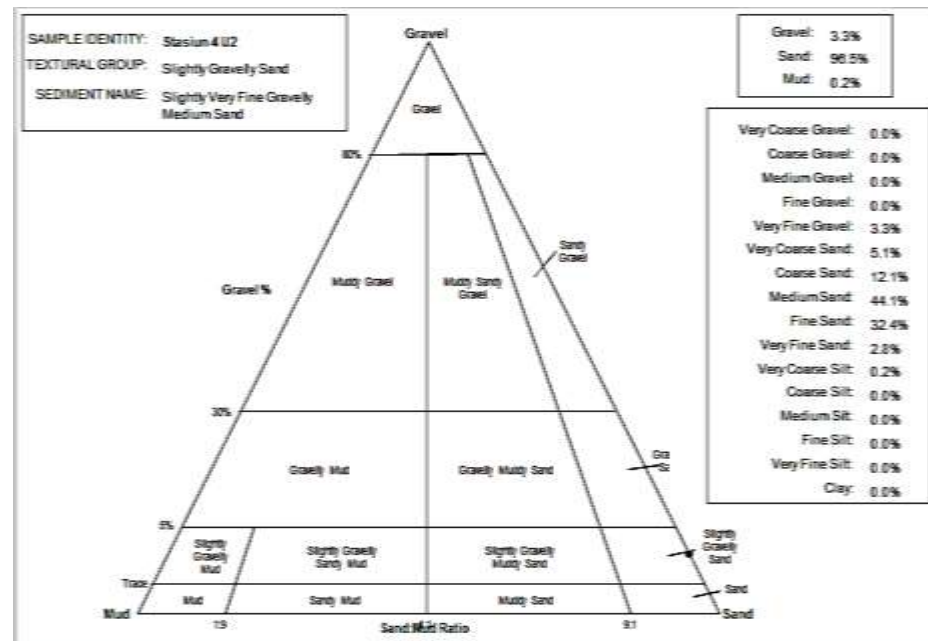
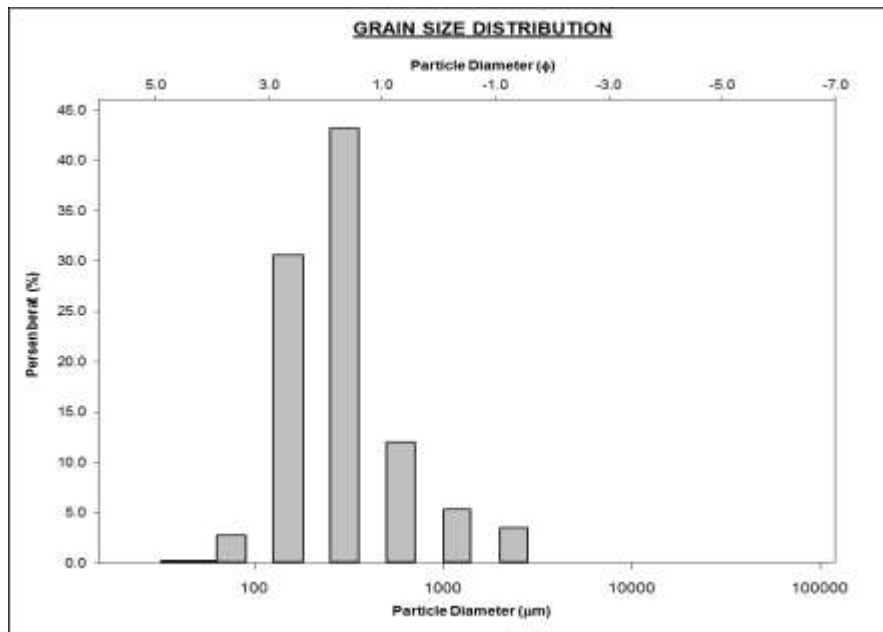
Stasiun 4 Ulangan 1

	METHOD OF MOMENTS			FOLK & WARD METHOD		
	Arithmetic	Geometric	Logarithmic	Geometric	Logarithmic	Description
	μm	μm	ϕ	μm	ϕ	
MEAN (\bar{x}) :	330.1	230.2	2.119	201.3	2.313	Fine Sand
SORTING (σ):	409.2	2.050	1.036	1.890	0.919	Moderately Sorted
SKEWNESS (sk):	3.721	1.204	-1.204	0.457	-0.457	Very Coarse Skewed
KURTOSIS (K):	17.93	4.695	4.695	1.362	1.362	Leptokurtic



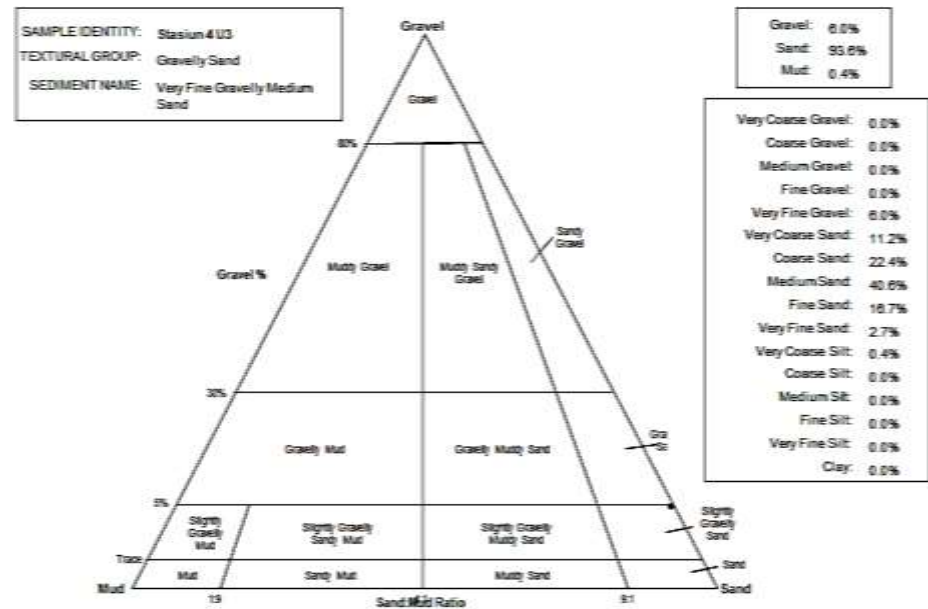
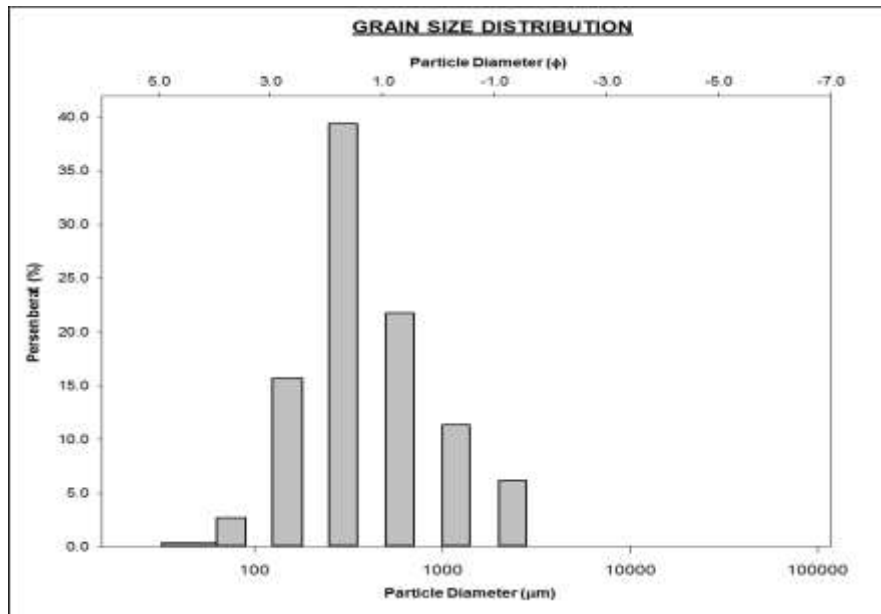
Stasiun 4 Ulangan 2

	METHOD OF MOMENTS			FOLK & WARD METHOD		
	Arithmetic	Geometric	Logarithmic	Geometric	Logarithmic	Description
	μm	μm	ϕ	μm	ϕ	
MEAN (\bar{x}) :	399.5	286.3	1.804	285.3	1.809	Medium Sand
SORTING (σ):	444.4	2.039	1.028	1.991	0.994	Moderately Sorted
SKEWNESS (Sk):	3.259	0.949	-0.949	0.172	-0.172	Coarse Skewed
KURTOSIS (K):	14.17	4.141	4.141	1.230	1.230	Leptokurtic



Stasiun 4 Ulangan 3

	METHOD OF MOMENTS			FOLK & WARD METHOD		
	Arithmetic	Geometric	Logarithmic	Geometric	Logarithmic	Description
	μm	μm	ϕ	μm	ϕ	
MEAN (\bar{x}) :	563.9	391.5	1.353	381.6	1.390	Medium Sand
SORTING (σ):	557.9	2.237	1.162	2.413	1.271	Poorly Sorted
SKEWNESS (Sk):	2.172	0.374	-0.374	0.306	-0.306	Very Coarse Skewed
KURTOSIS (K):	7.309	2.957	2.957	1.303	1.303	Leptokurtic



Lampiran 5. Dokumentasi Penelitian di Lapangan



Lampiran 6. Dokumentasi Analisis di Laboratorium



Pengukuran salinitas



Pencampuran larutan uji nitrat dan fosfat air



Penggunaan spektrofotometer



Sampel sedimen yang telah dioven



Mengayak sampel sedimen



Pengukuran besar butir sedimen



Menimbang sampel basah lamun



Memasukkan sampel basah lamun ke dalam oven



Menimbang sampel kering lamun yang telah dioven untuk pengukuran biomassa



Pengabuan lamun



Hasil pengabuan lamun untuk pengukuran stok karbon



Menimbang sampel lamun yang telah diabukan